

# Ciência das Redes

## Redes Neurais de Grafos

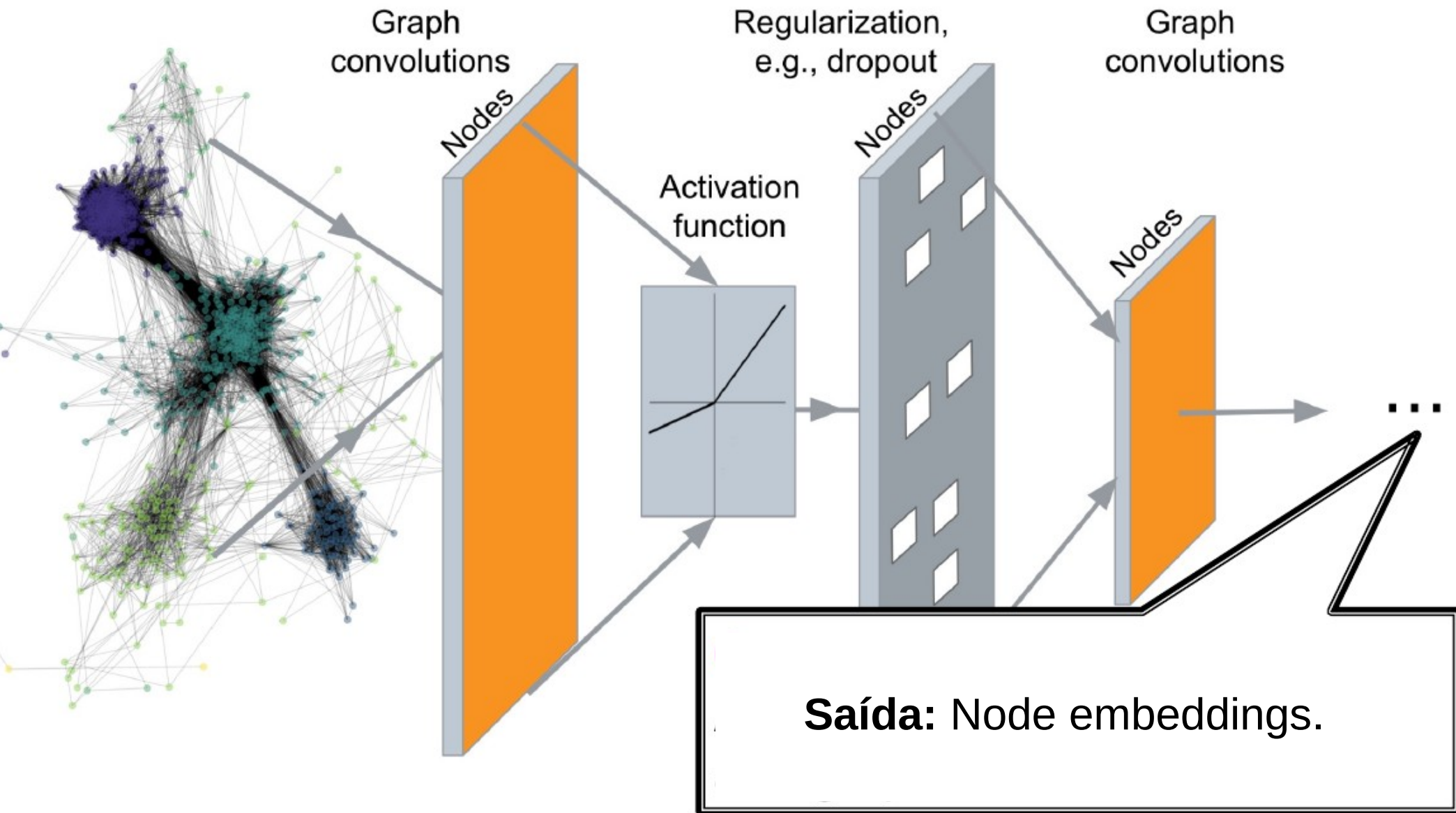
Thiago H Silva

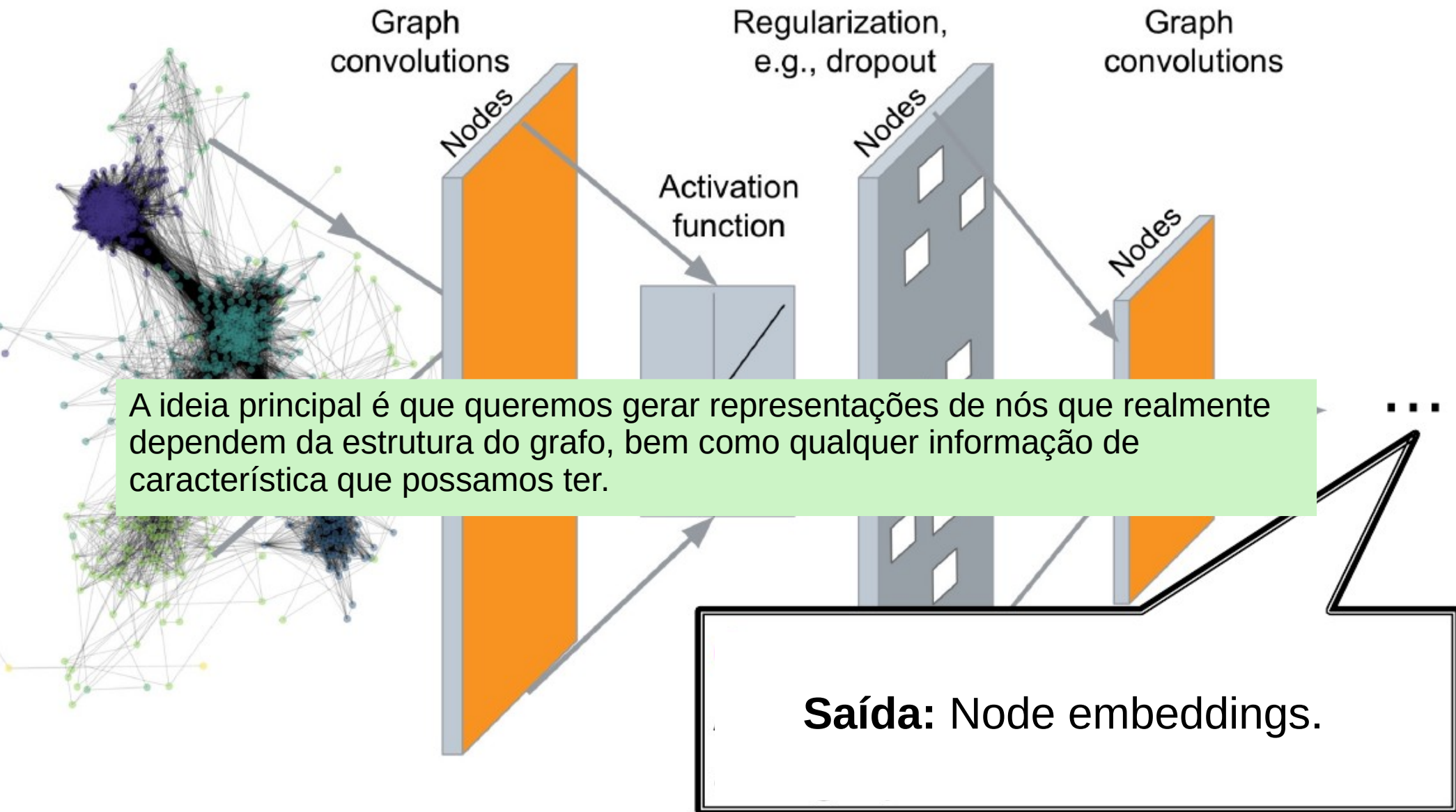
Limitações dos métodos de shallow encoders (como o node2vec):

- Não incorpora *features* de nó:
  - Os nós em muitos gráficos têm recursos que podemos e devemos usar

Podemos usar métodos de aprendizagem profunda com base em redes neurais de grafos (GNNs):

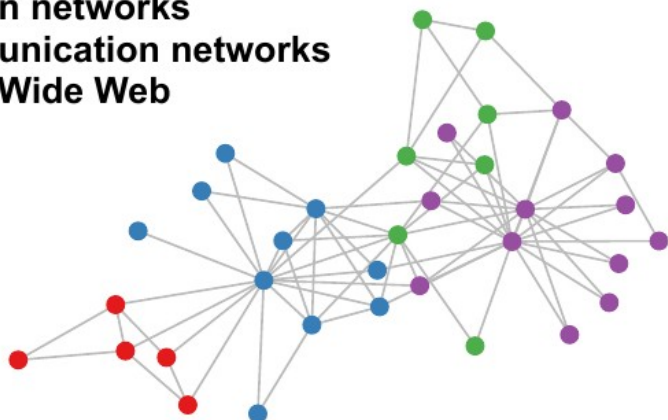
$\text{ENC}(v) =$  Múltiplas camadas de transformações não lineares baseadas na estrutura do grafo



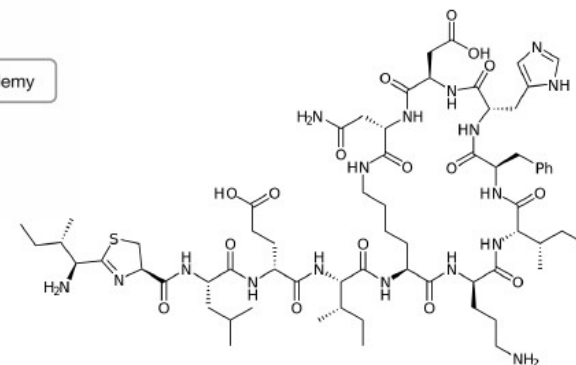
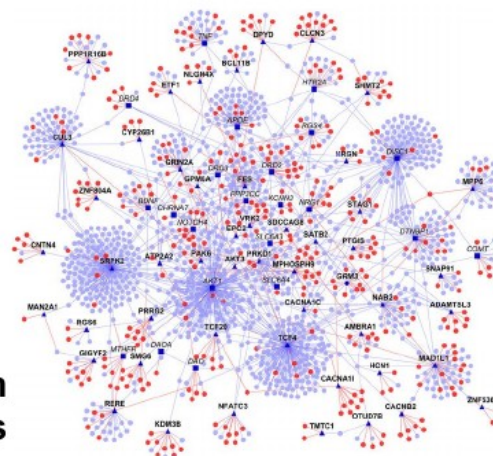
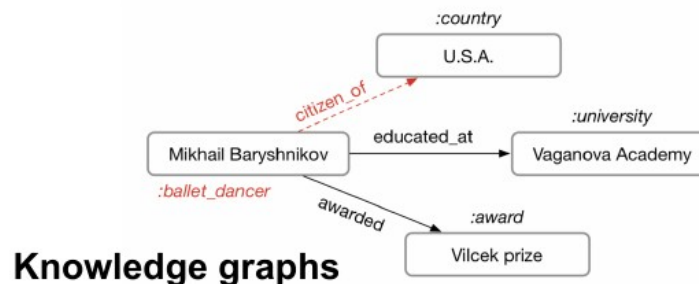


# Graph Neural Networks

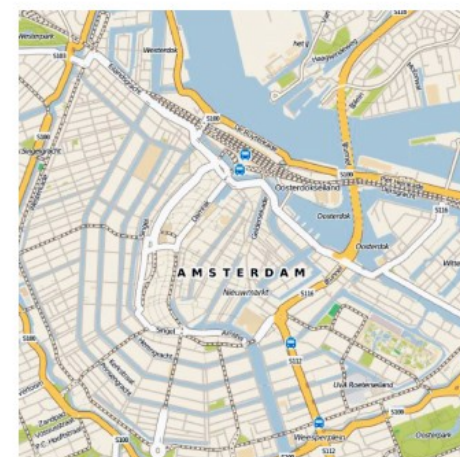
Social networks  
Citation networks  
Communication networks  
World Wide Web



Protein interaction networks

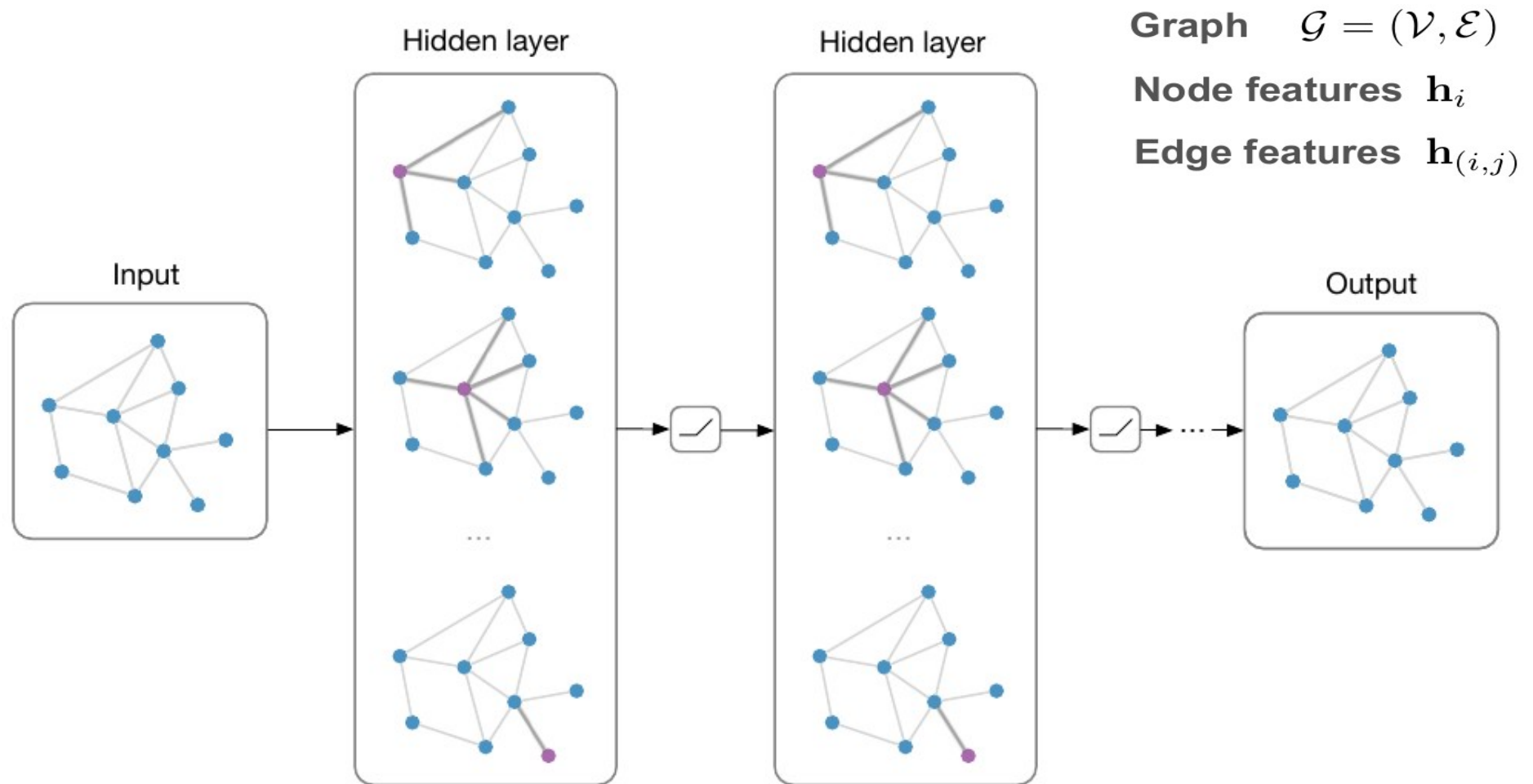


Molecules



Road maps

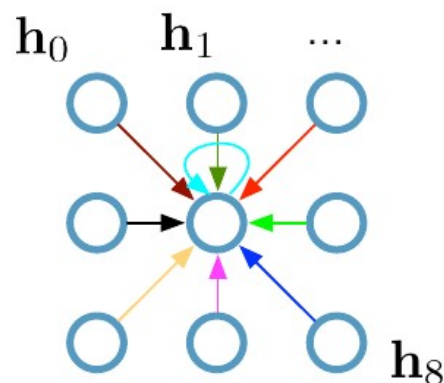
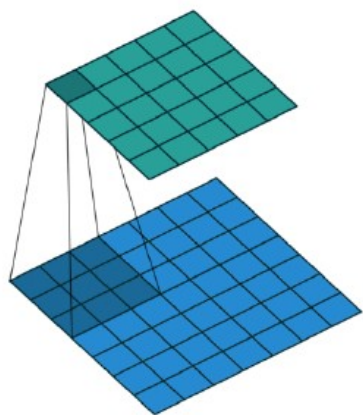
Challenging for standard deep neural net architectures (CNNs / RNNs)



**Ideia principal:** transmitir mensagens ao longo das arestas do grafo, aglomerar e transformar



## Single CNN layer with 3x3 filter:



### Update for a single pixel:

- Transform messages individually  $\mathbf{W}_i \mathbf{h}_i$
- Add everything up  $\sum_i \mathbf{W}_i \mathbf{h}_i$

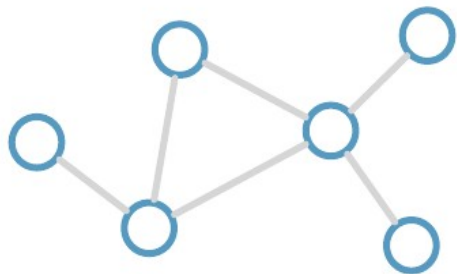
$\mathbf{h}_i \in \mathbb{R}^F$  are (hidden layer) activations of a pixel/node

### Full update:

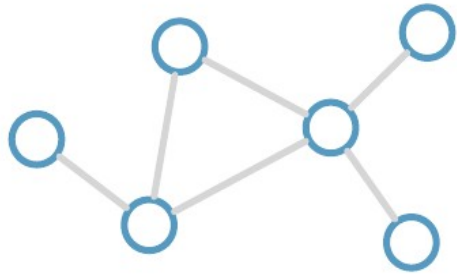
$$\mathbf{h}'_4 = \sigma(\mathbf{W}_0 \mathbf{h}_0 + \mathbf{W}_1 \mathbf{h}_1 + \cdots + \mathbf{W}_8 \mathbf{h}_8)$$



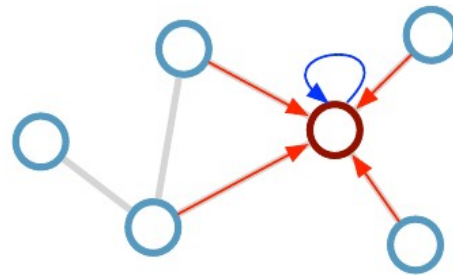
Considere este grafo  
não direcionado



Considere este grafo  
não direcionado



Calcular a atualização  
para o nó em vermelho



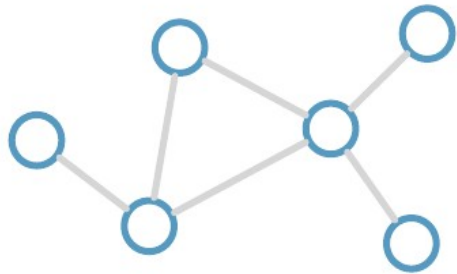
Update  
rule:

$$\mathbf{h}'_i = \sigma \left( \mathbf{W}_0 \mathbf{h}_i + \sum_{j \in \mathcal{N}_i} \alpha_{ij} \mathbf{W}_1 \mathbf{h}_j \right)$$

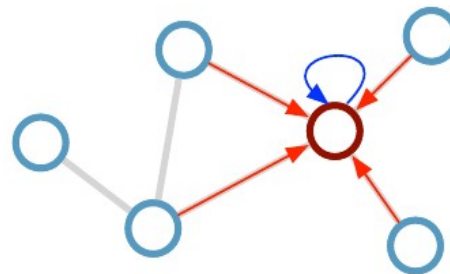
Índices dos vizinhos

Constante de  
normalização

Considere este grafo não direcionado



Calcular a atualização para o nó em vermelho



**Update rule:**

$$\mathbf{h}'_i = \sigma \left( \mathbf{W}_0 \mathbf{h}_i + \sum_{j \in \mathcal{N}_i} \alpha_{ij} \mathbf{W}_1 \mathbf{h}_j \right)$$

Índices dos vizinhos

Constante de normalização

## Propriedades desejáveis:

- Compartilhamento de pesos em todas as localidades
- Complexidade linear  $O(E)$
- Aplicáveis em cenários indutivos (novos nós e arestas)

## Limitações

- Não suporta a interação entre pares
- Não suporta features de arestas

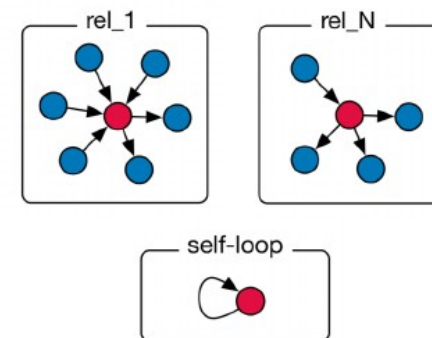
## MoNet & Relational GCN for modeling relational data

Monti et al. (CVPR 2017), Schlichtkrull & Kipf et al. (arXiv 2017, ESWC 2018)

$$\mathbf{h}'_i = \sigma \left( \sum_{r=1}^R \sum_{j \in \mathcal{N}_i} \alpha_{ij}^r \mathbf{W}_r \mathbf{h}_j \right)$$

$\alpha_{ij}^r$  based on:

- Edge type (Relational GCN)
- Auxiliary features (MoNet), e.g. node degree



## Self-attention and Graph Attention Networks

Vaswani et al. (NIPS 2017), Veličković et al. (ICLR 2018)

$$\alpha_{ij}^r = \frac{\exp(\mathbf{h}_i^T \mathbf{W}'_r \mathbf{h}_j)}{\sum_{k \in \mathcal{N}_i} \exp(\mathbf{h}_i^T \mathbf{W}'_r \mathbf{h}_k)}$$

Multi-head dot product attention:

- Activation-dependent  $\alpha_{ij}^r$
- Bi-linear scoring

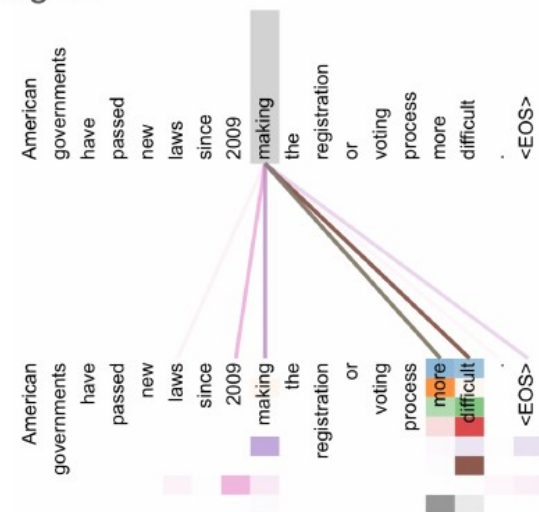
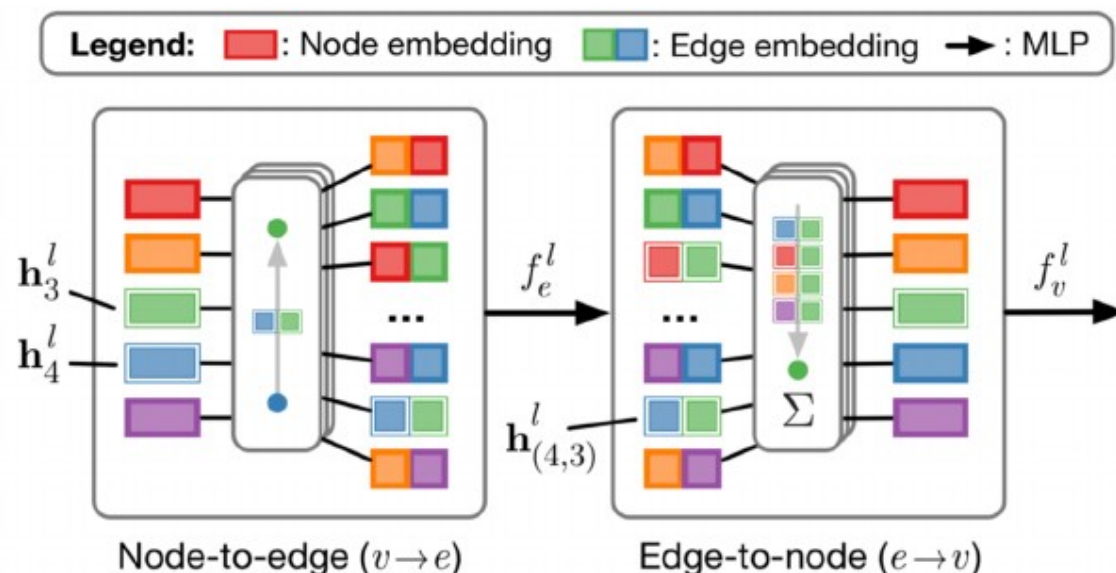


Figure from Vaswani et al. (NIPS 2017)



**Formally:**

$$v \rightarrow e : \mathbf{h}_{(i,j)}^l = f_e^l([\mathbf{h}_i^l, \mathbf{h}_j^l, \mathbf{x}_{(i,j)}])$$
$$e \rightarrow v : \mathbf{h}_j^{l+1} = f_v^l([\sum_{i \in \mathcal{N}_j} \mathbf{h}_{(i,j)}^l, \mathbf{x}_j])$$

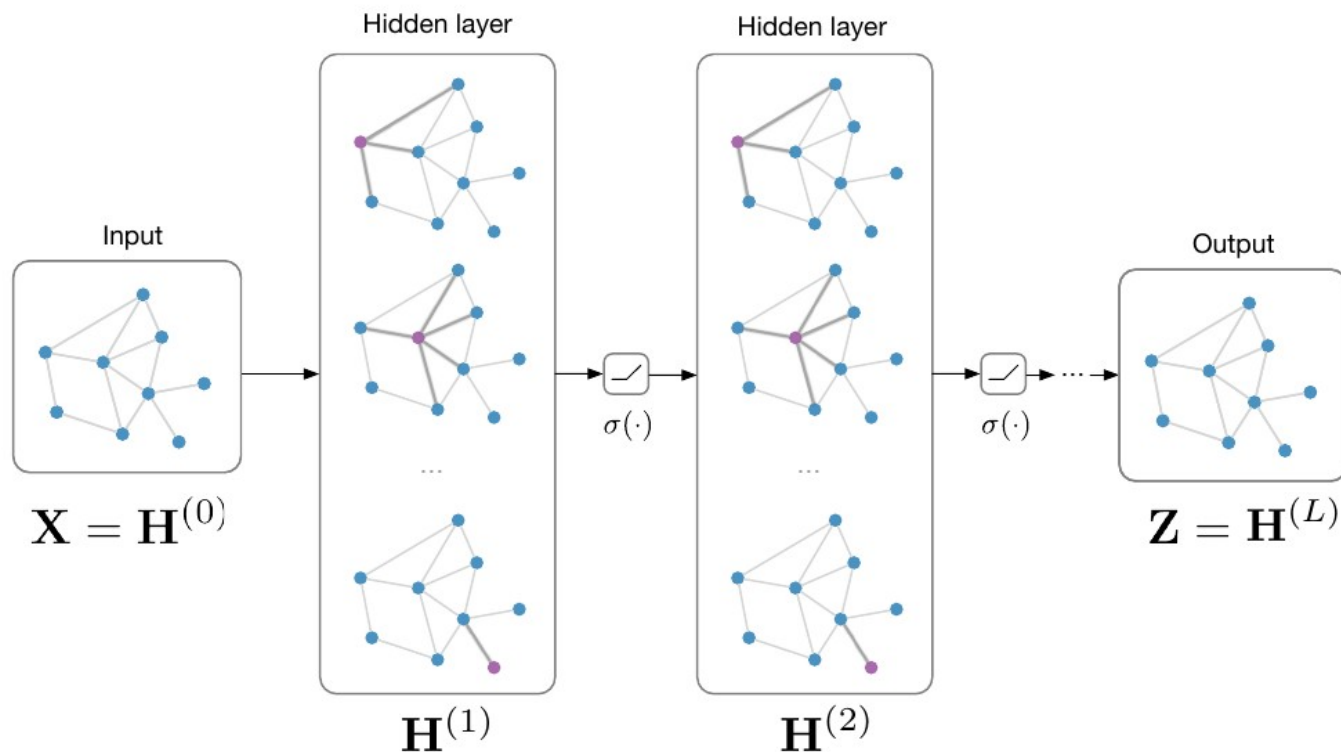
## Pros:

- Suporte a features de arestas
- Mais expressivas do que GCN
- Bastante flexível

## Cons:

- Precisa armazenar ativações baseadas em arestas intermediárias
- Na prática mais lentas do que GCN / Self-attention models

**Input:** Feature matrix  $\mathbf{X} \in \mathbb{R}^{N \times F}$ , graph adjacency matrix  $\mathbf{A}$

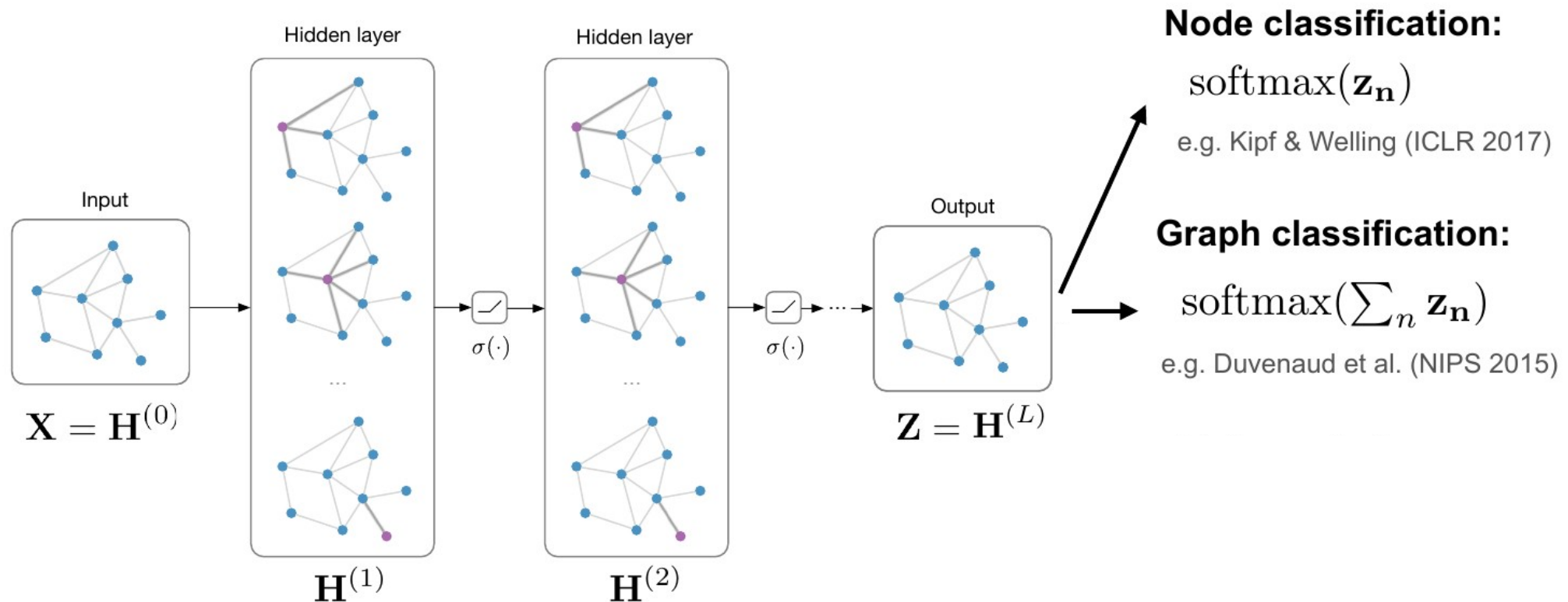


**Node classification:**

$$\text{softmax}(\mathbf{z}_n)$$

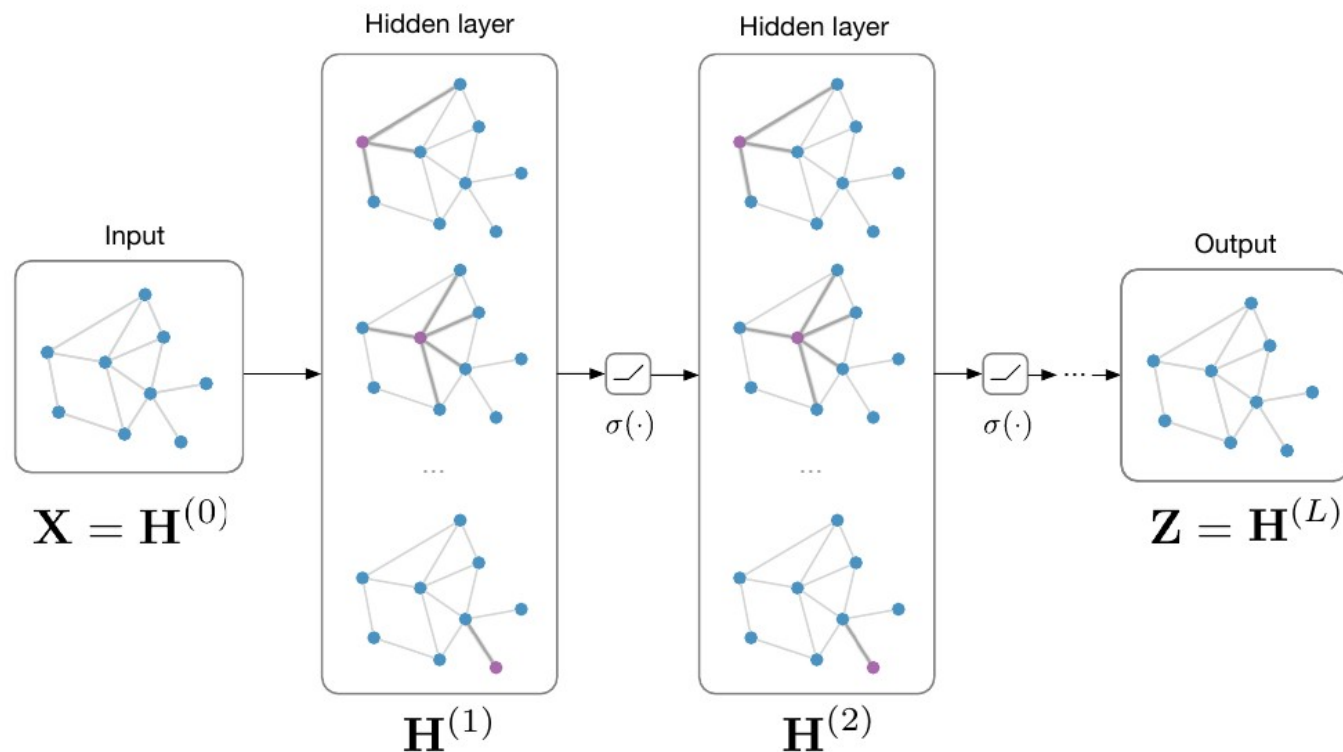
e.g. Kipf & Welling (ICLR 2017)

**Input:** Feature matrix  $\mathbf{X} \in \mathbb{R}^{N \times F}$ , graph adjacency matrix  $\mathbf{A}$





**Input:** Feature matrix  $\mathbf{X} \in \mathbb{R}^{N \times F}$ , graph adjacency matrix  $\mathbf{A}$



**Node classification:**

$$\text{softmax}(\mathbf{z}_n)$$

e.g. Kipf & Welling (ICLR 2017)

**Graph classification:**

$$\text{softmax}(\sum_n \mathbf{z}_n)$$

e.g. Duvenaud et al. (NIPS 2015)

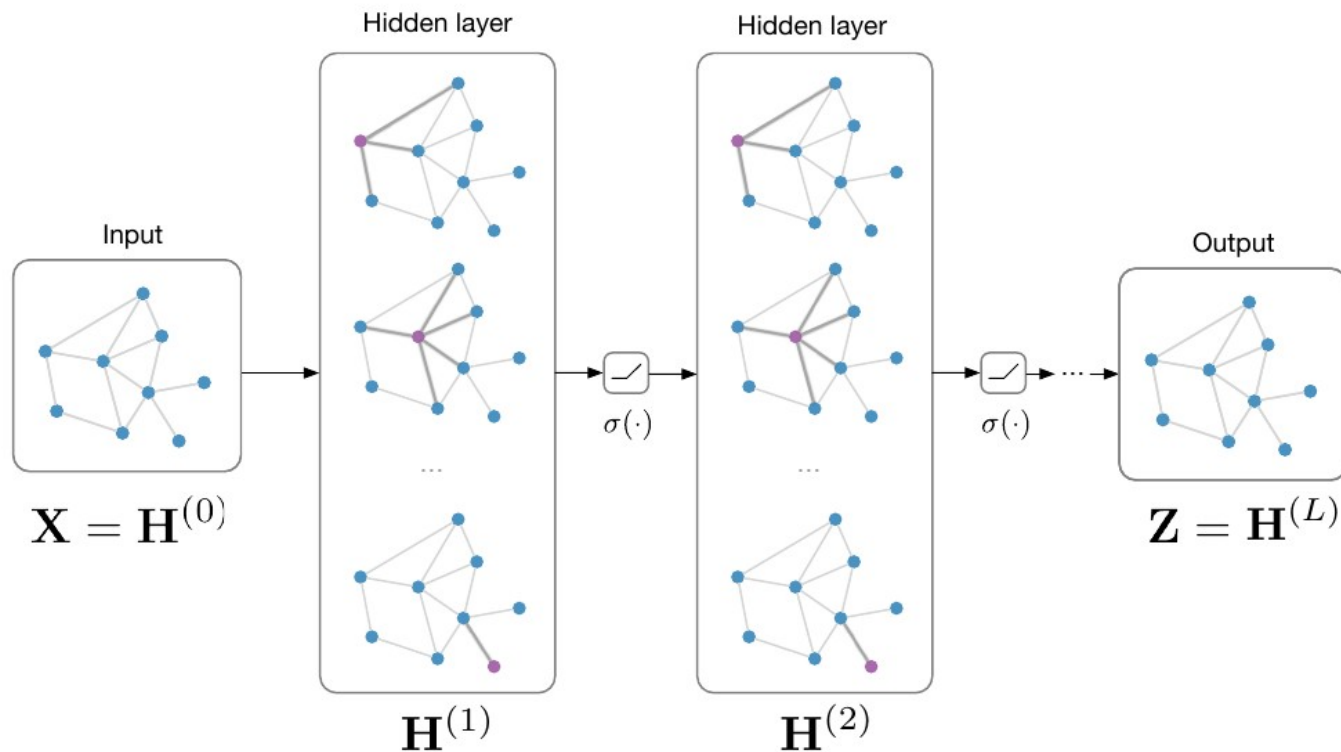
**Link prediction:**

$$p(A_{ij}) = \sigma(\mathbf{z}_i^T \mathbf{z}_j)$$

Kipf & Welling (NIPS BDL 2016)

“Graph Auto-Encoders”

**Input:** Feature matrix  $\mathbf{X} \in \mathbb{R}^{N \times F}$ , graph adjacency matrix  $\mathbf{A}$



**Node classification:**

$$\text{softmax}(\mathbf{z}_n)$$

e.g. Kipf & Welling (ICLR 2017)

**Graph classification:**

$$\text{softmax}(\sum_n \mathbf{z}_n)$$

e.g. Duvenaud et al. (NIPS 2015)

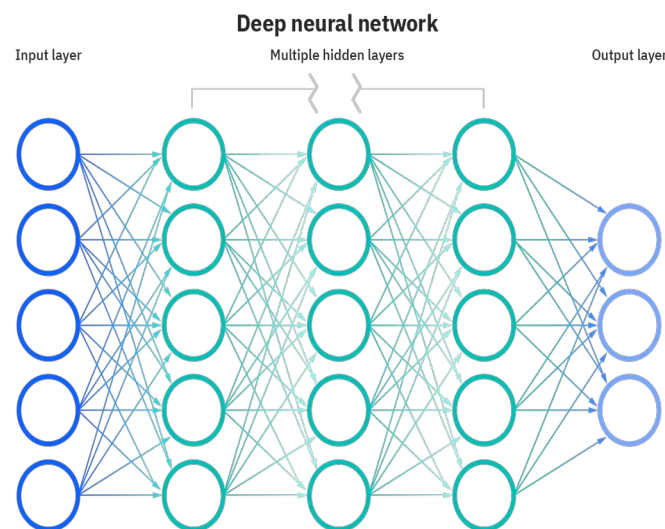
**Link prediction:**

$$p(A_{ij}) = \sigma(\mathbf{z}_i^T \mathbf{z}_j)$$

Kipf & Welling (NIPS BDL 2016)

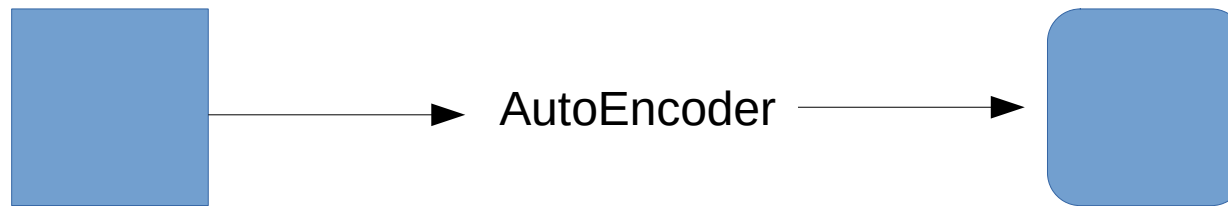
**“Graph Auto-Encoders”**

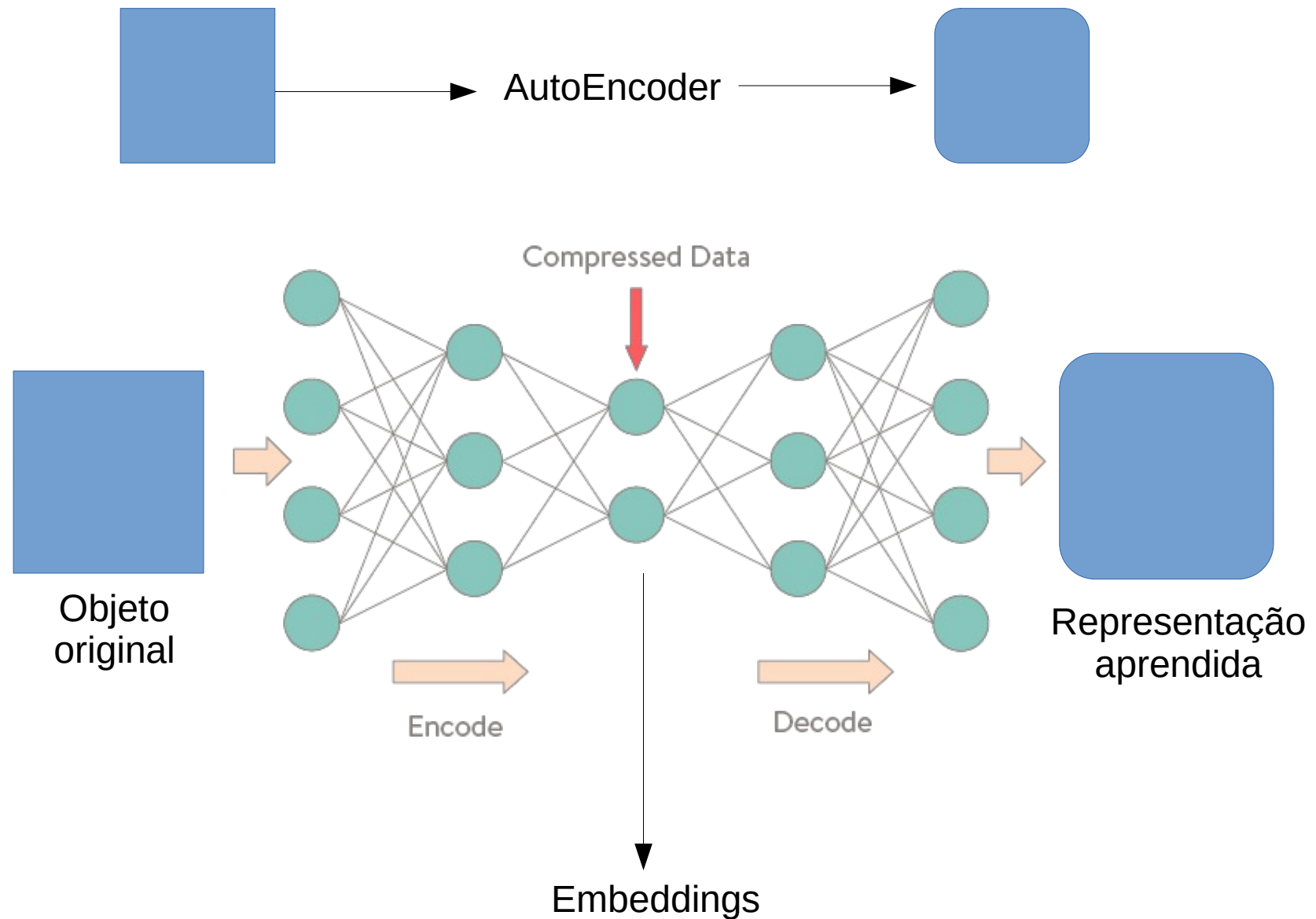
- Relembrando – O que as redes neurais profundas fazem?



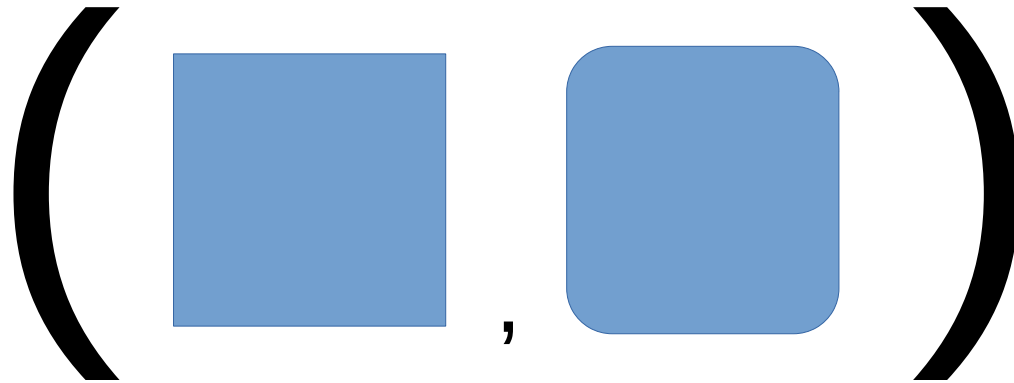
- Aprendem *features* importantes do *input*
  - Permitem fazer tarefas variadas
- Usar esse recurso para transformar o input (**codificar - encode**)

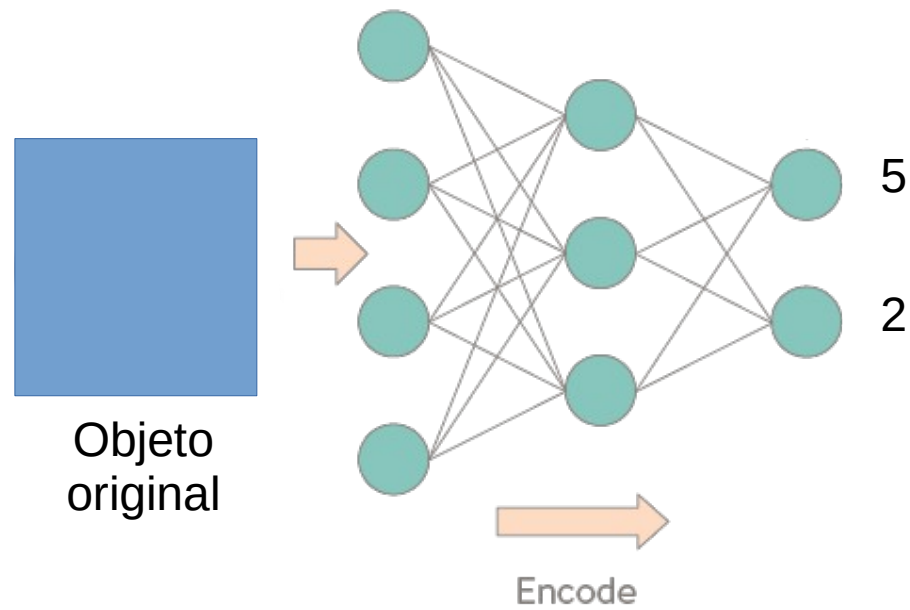
- AutoEncoders são redes neurais que trabalham no regime **não supervisionado**
- Ou seja não precisamos de rótulos



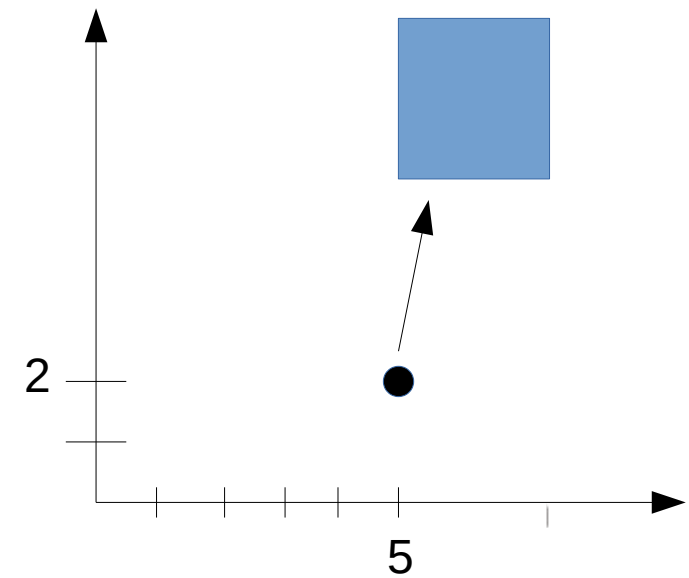
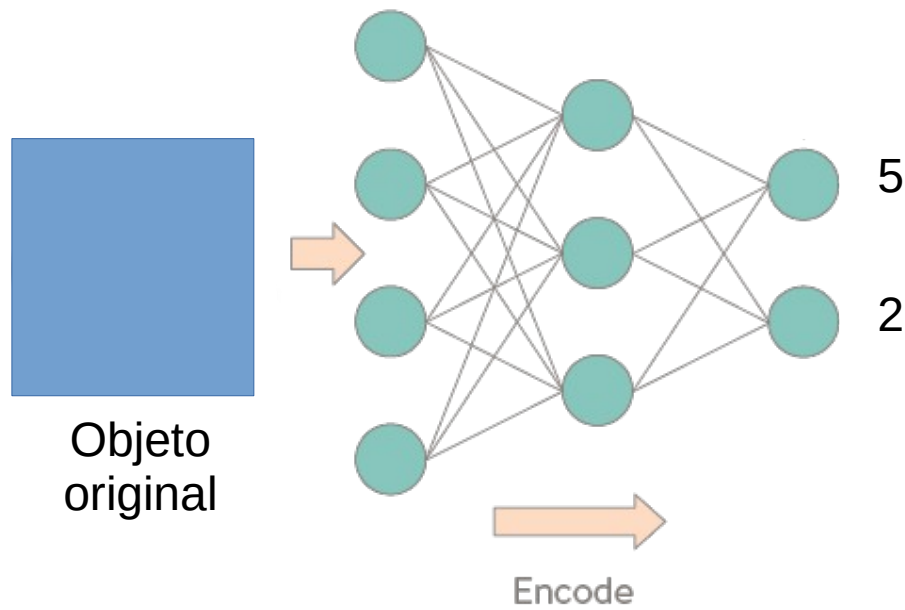


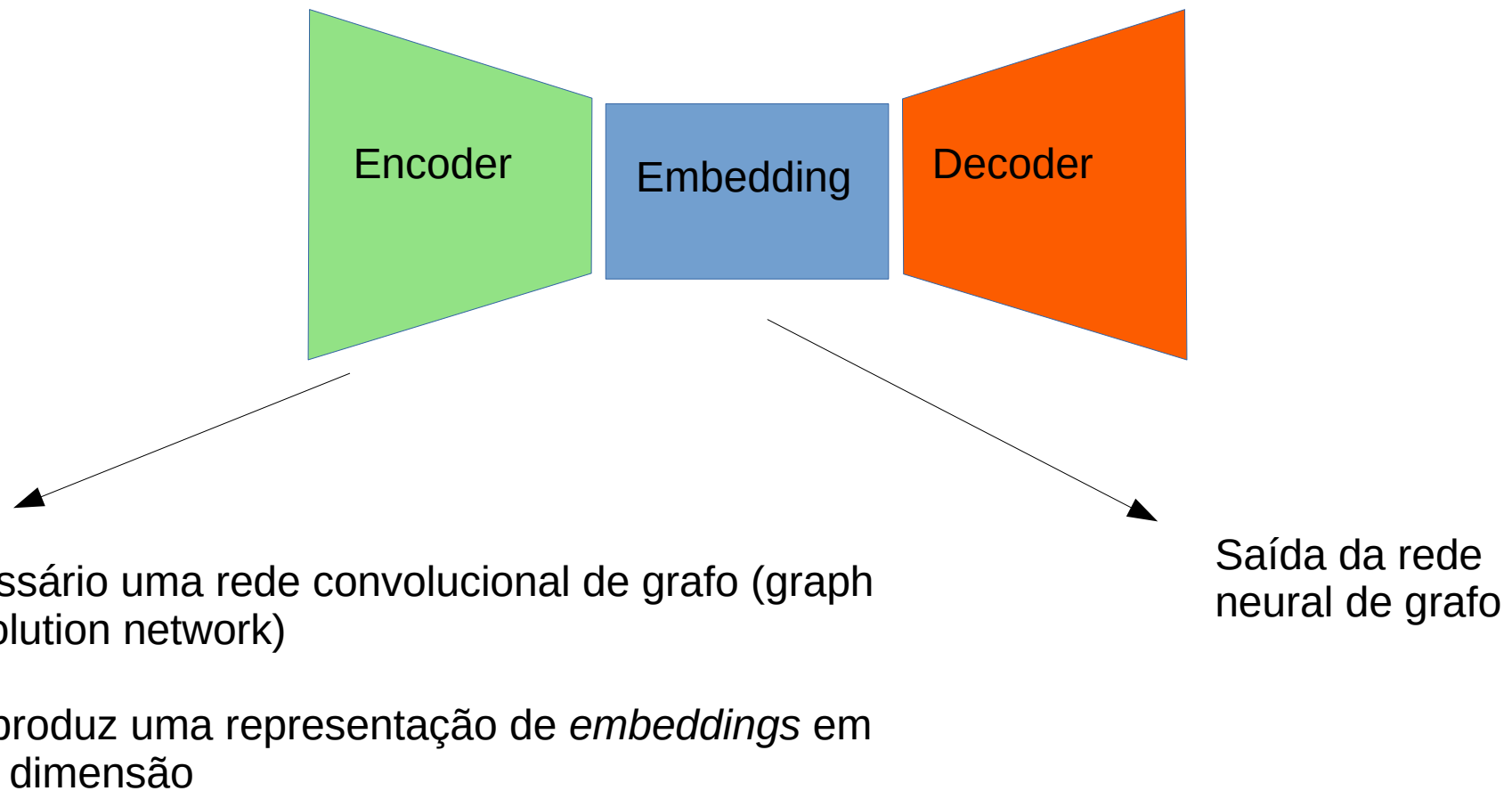
Erro = similaridade











Reconstrói o  
grafo de entrada

A → [5, 2]  
B → [1, 4]  
C → [2, 3]  
D → [5, 8]

Decoder

Node embeddings  
com duas dimensões

**Produto interno (Inner product)**

$$\text{Adj}_{(A,B)} = \text{sigmoid}([5,2] * [1,4]^T)$$

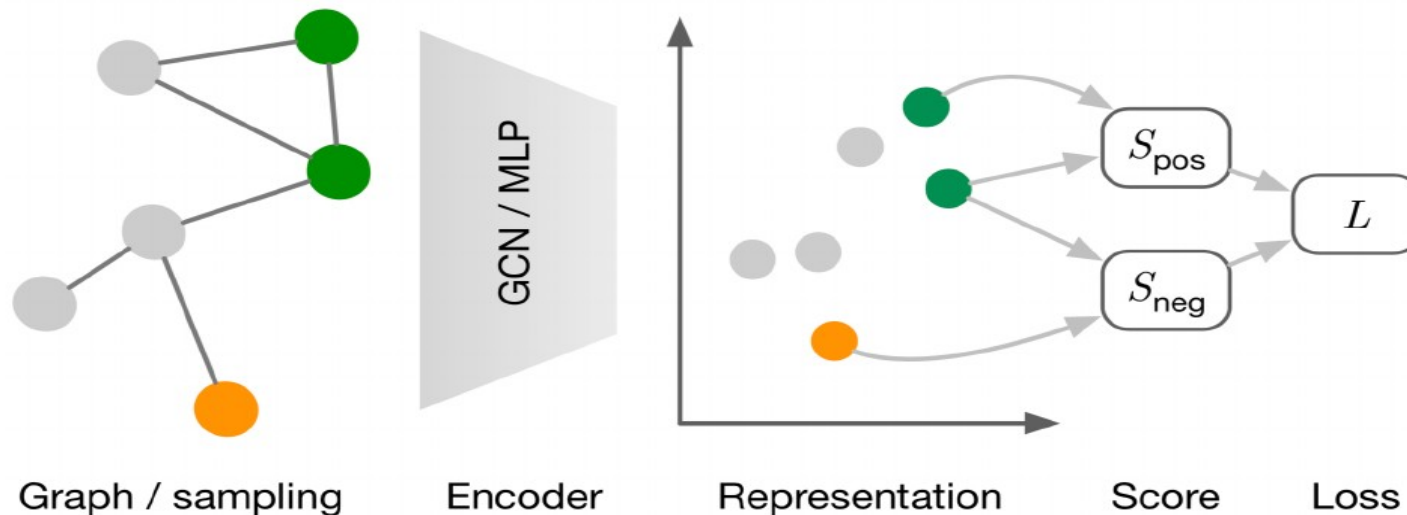
$$\text{Adj}_{(A,C)} = \text{sigmoid}([5,2] * [2,3]^T)$$

...



Usado por “Variational Graph Auto-Encoders” 2016

- Também pode ser usada para classificação de nó:
- Cenário: alguns nós possuem labels
- Objetivo: predizer os labels de nós que não possuem labels



**CLASS GAE ( encoder, decoder=None )** [\[source\]](#)

The Graph Auto-Encoder model from the “Variational Graph Auto-Encoders” paper based on user-defined encoder and decoder models.

**PARAMETERS:**

- **encoder** (*Module*) – The encoder module.
- **decoder** (*Module, optional*) – The decoder module. If set to `None`, will default to the `torch_geometric.nn.models.InnerProductDecoder`. (default: `None`)

**reset\_parameters ( )** [\[source\]](#)

**encode ( \*args, \*\*kwargs )** [\[source\]](#)

Runs the encoder and computes node-wise latent variables.

**decode ( \*args, \*\*kwargs )** [\[source\]](#)

Runs the decoder and computes edge probabilities.

**recon\_loss ( z, pos\_edge\_index, neg\_edge\_index=None )** [\[source\]](#)

Given latent variables `z`, computes the binary cross entropy loss for positive edges `pos_edge_index` and negative sampled edges.

**PARAMETERS:**

- **z** (*Tensor*) – The latent space  $\mathbf{Z}$ .
- **pos\_edge\_index** (*LongTensor*) – The positive edges to train against.
- **neg\_edge\_index** (*LongTensor, optional*) – The negative edges to train against. If not given, uses negative sampling to calculate negative edges. (default: `None`)

Demonstração usando a implementação do PyG (Pytorch geometric)

Table 1. Components of unsupervised learning methods on graphs in existing algorithms: DeepWalk (Perozzi et al., 2014), GAE (Kipf & Welling, 2016b),  $\mathcal{S}$ -VGAE (Davidson et al., 2018), DGI (Veličković et al., 2018), and G2G (Bojchevski & Günnemann, 2017).

Method	Encoder	Representation	Score	Loss	Sampling
DeepWalk	LUT	$\mathbf{z}_i \in \mathbb{R}^D$	$\sigma(\mathbf{z}_i^\top \mathbf{z}_j)$	$-\log S - \log(1 - \tilde{S})$	(+) random walk neighbors (-) non-neighbors
GAE	GCN	$\mathbf{z}_i \in \mathbb{R}^D$	$\sigma(\mathbf{z}_i^\top \mathbf{z}_j)$	$-\log S - \log(1 - \tilde{S})$	(+) 1st order neighbors (-) non-neighbors
$\mathcal{S}$ -VGAE	GCN	$\mathbf{z}_i \sim \text{vMF}(\mathbf{z})$	$\sigma(\mathbf{z}_i^\top \mathbf{z}_j)$	$-\log S - \log(1 - \tilde{S})$	(+) 1st order neighbors (-) non-neighbors
DGI	GCN	$\mathbf{z}_i \in \mathbb{R}^D$	$\sigma(\mathbf{z}_i^\top \mathbf{W} \mathbf{s})$	$-\log S - \log(1 - \tilde{S})$	(+) original graph (-) corrupted graph
G2G	MLP	$\mathbf{z}_\mu \in \mathbb{R}^D$ $\mathbf{z}_\Sigma \in \mathbb{R}^D$	$\exp(-\text{KL}(\mathcal{N}_i \  \mathcal{N}_j))$	$(\log S)^2 + \tilde{S}$	(+) 1st order neighbors (-) higher order neighbors

GAE: Graph Auto-Encoders, G2G: Graph2Gauss, DGI: Deep Graph Infomax  $\mathbf{s} = \sum_{i=1}^N \mathbf{z}_i$

**Um grafo em PyG é descrito por uma instância de *torch\_geometric.data.Data*, que contém os seguintes atributos por padrão:**

- `data.x`: Node feature matrix with shape `[num_nodes, num_node_features]`
- `data.edge_index`: Graph connectivity in COO format with shape `[2, num_edges]` and type `torch.long`
- `data.edge_attr`: Edge feature matrix with shape `[num_edges, num_edge_features]`
- `data.y`: Target to train against (may have arbitrary shape), e.g., node-level targets of shape `[num_nodes, *]` or graph-level targets of shape `[1, *]`
- `data.pos`: Node position matrix with shape `[num_nodes, num_dimensions]`

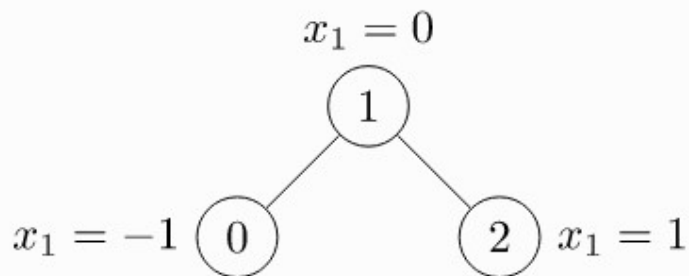
Nenhum desses atributos é obrigatório.

O objeto `Data` não está restrito a esses atributos.



```
import torch
from torch_geometric.data import Data

edge_index = torch.tensor([[0, 1, 1, 2],
                           [1, 0, 2, 1]], dtype=torch.long)
x = torch.tensor([[ -1], [0], [1]], dtype=torch.float)
data = Data(x=x, edge_index=edge_index)
```



Quatro arestas definidas

Embora o gráfico tenha apenas duas arestas, precisamos definir quatro tuplas de índice para explicar as duas direções de uma aresta.

Data

DataLoader

Classes que organizam e facilitam o trabalho com um dataset de grafos

- Mini-batches

Oferece recursos para facilitar o trabalho com mini-batches

- Recursos para gerenciar treinamento e teste (mesmo que com um grafo apenas)

Área nova e difícil de acompanhar

Inúmeras aplicações e sucesso

Ainda muitos desafios

**GCN for recommendation on 16 billion edge graph!**



Alguns slides foram derivados de Thomas Kipf – University of Amsterdam

Paper “Variational Graph Auto-Encoders” 2016

Biblioteca oficial do Pytorch Geometric